

支配流量に関する研究

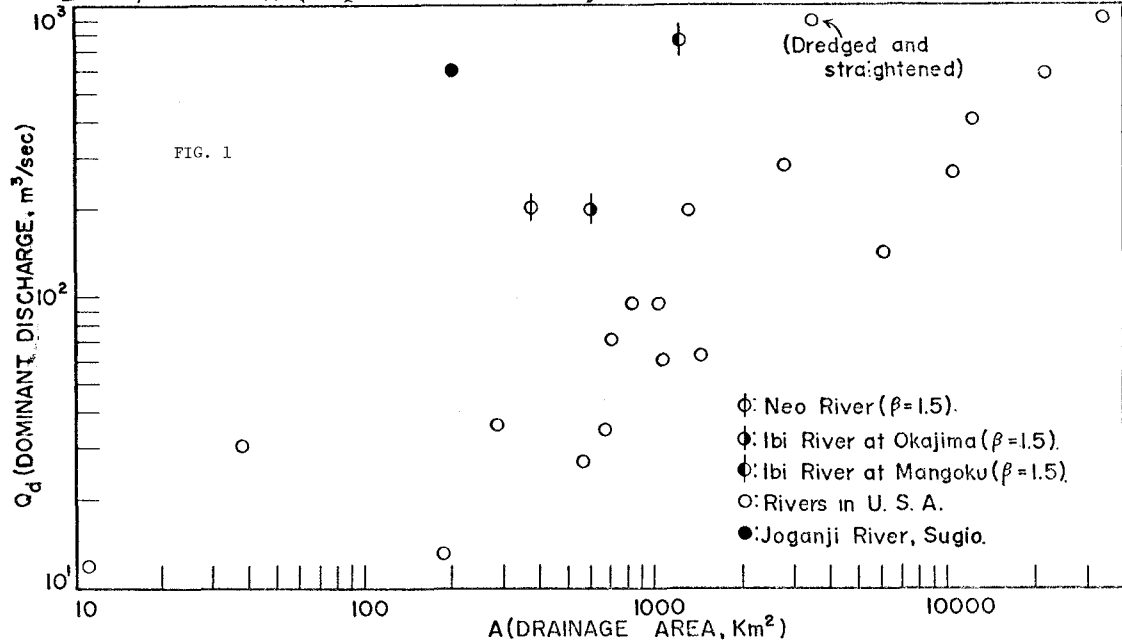
岐阜大学工学部 正員 沢木三郎

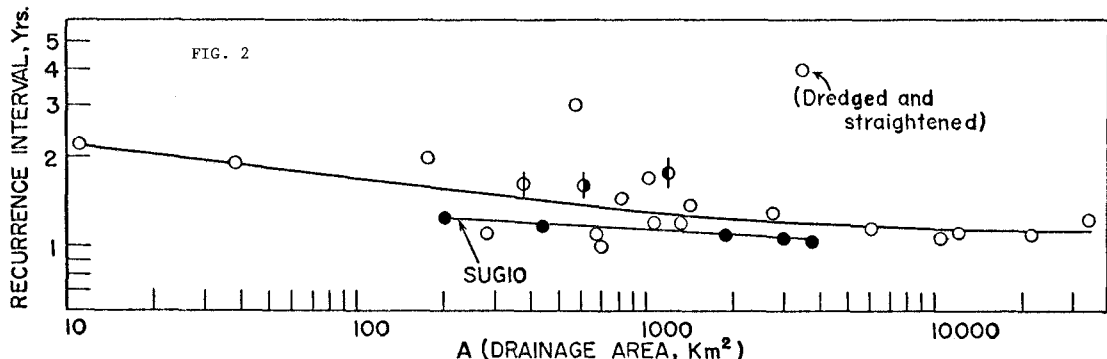
第12回水理講演会(1968)において、支配流量の求め方とし、(1)自然河川について考えられ Bankfull Stage に対応する流量の実測方法²⁾、(2)流域面積から求めた杉尾博士の方法³⁾、(3)Walker-Marlette の方法⁴⁾、および(4)流砂の観察から計算する著者の方法^{5), 6)}があることを示した。この報告は支配流量と流域面積との関係、年最大洪水流量に対する支配流量の確率洪水年と流域面積との関係、および合流域における支配流量の変化を考察したものである。流砂量の観察から求めた著者の支配流量の計算式はつきのようである。式(1)における Q_d は支配流量、 Q_i は月最大流量(月最大流量、月平均

$$Q_d = \frac{\sum_{i=1}^N Q_i (1+\beta)}{\sum_{i=1}^N Q_i} \quad \text{--- (1) } 3), \quad \beta \text{ は浮遊流砂量を含めた全流砂量 } Q_{Ti} \text{ を } Q_{Ti} = \alpha Q_i \text{ の形で表す} \\ (\text{左の場合の指標である。} N \text{ は } Q_i \text{ の全種別数である。} \beta \text{ の値は} 1 \text{ では} \\ \text{多數の流砂量公式と実測値とから、} 2 \text{ までの} \beta \text{ の値をとる} \text{ ことが知られる。} (1) \text{ 流域流砂が支配的な} \\ \text{場合、} \beta = 2.0, (2) \text{ 流域砂が支配的な場合、} \beta = 1.0, (3) \text{ 全流砂量に従事する} \beta \text{ は} \beta = 1.0 \text{ から} 2.0 \text{ の間にある。})$$

A) 支配流量と流域面積との関係 アメリカの Wabash 河等、19か所⁷⁾で実測された Bankfull Discharge⁶⁾、杉尾博士³⁾が常願寺川の静的平衡維持形状から計算した支配流量、および(1)と述べた様尾川・揖斐川について著者が計算した支配流量のデータをプロットすると Fig. 1 のようである。Fig. 1 から知られるように、支配流量は流域面積の増加とともに増加していく。しかししながら、自然河川について得られたアメリカの諸河川の資料と日本の河川の資料にはかなりの差異が認められる。

B) 支配流量の年最大洪水流量に対する確率洪水年と流域面積との関係 Fig. 1 に併用した資料の支配流量の確率洪水年と流域面積との関係を示すと Fig. 2 のようである。この図には杉尾博士が求めた





吉野川、仁淀川、重信川などの計算値が得られ曲線で記入されてゐる。杉尾博士は、支配流量の超過確率 $W(\%)$ は次の式で計算すればよいと提案した。³⁾ $W = 0.576 A^{0.0628}$ (2) この式を確率洪水年の式にかきかえると Recurrence Interval (Yrs) = $1.736 A^{-0.0628}$ (3) となる。ただし、 A は流域面積 (km^2) である。この図から、支配流量の確率洪水年は流域面積の増加と共に減少し、約 1.1 年程度になったことがわかる。Figs. 1 と 2 より、支配流量は流域面積のみでは規定できず、他の因子も影響しているよう。さて、式(1)を使用して支配流量を計算する場合をつぎに示す。

(c) 合流点における支配流量の変化 播磨川と紀尾川との合流点を計算地点に選べ、合流点上流部の支配流量を月最大流量、月平均流量、日平均流量によって計算した。計算結果を示すと表-1 のようである。式(1)の流量の取り方としては、日平均流量をとる方がよさそうである。月平均流量を使用して求めた支配流量は流跡が生じないようちいさな流量となっていて、春-1 から、合流点下流の支配流量は合流前の二つの河川の支配流量の合計値よりも大きいことが知られる。

文献

- 1) 三木三郎：支配流量の一計算法、第12回水理講演会講演集、1968年2月、pp.79~84.
- 2) Wolman, M. G., and Leopold, L. B.: River Flood Plains, Some Observations on their Formation, U. S. Geological Survey, Prof. Paper No. 282-C, 1957.
- 3) Sugio, S.: Discussion of "Channel Gradients above Gully Control Structures," by D. A. Woolhiser and A. T. Lenz, Proc. ASCE, HY1, 1966, p. 119.
- 4) Walker, R. H., and Marlette, R. R.: Dominant Discharges at Platte-Missouri Confluence, Proc. ASCE, WWI, 1968, pp. 23-32.
- 5) Komura, S.: Computation of Dominant Discharge, IAHR, Kyoto, 1969.
- 6) Leopold, L. B., Wolman, M. G., and Miller, J. P.: Fluvial Processes in Geomorphology, W. H. Freeman and Co., San Francisco, 1964, p. 320.

TABLE 1. DOMINANT DISCHARGES AT THE IBI-NEO CONFLUENCE

Reach	Data on water discharges used in the computations	Number of data on water discharges	Dominant discharge for $\beta = 1.5$ $Q_d (\text{m}^3/\text{sec})$	Recurrence intervals, in years	Drainage Area in km^2
Neo River (Yamaguchi) Above confluence	Maximum monthly Mean monthly Mean daily	48 36 203	370.1 56.9 207.1	2.70 1.08 1.64	375.0
Ibi River (Okajima) Above confluence	Maximum monthly Mean monthly Mean daily	47 24 218	340.3 86.0 200.5	2.63 1.12 1.64	608.0
Ibi River (Mangoku) Below confluence	Maximum monthly Mean monthly Mean daily	266 266 1690	1189.1 142.9 763.0	3.13 1.00 1.78	1195.8